

جزء قوسی پیشنهادی برای تحلیل تیرها و شبکه‌های قوسی

محمود عدالتی

دانشجوی کارشناسی ارشد

فریدون ایرانی

دانشیار

دانشکده مهندسی، گروه عمران، دانشگاه فردوسی مشهد

چکیده

در این مقاله جزء تیر قوسی یک بعدی با هشت درجه آزادی (با در نظر گرفتن اثر تغییر شکل های برش ثانویه تاییدگی) برای تحلیل تیرها و شبکه‌های قوسی به روش اجزای محدود با استفاده ازتابع میدان پیچشی به صورت نمایی ارائه می گردد. در ادامه با استفاده از برنامه رایانه‌ای ایجاد شده، نمونه‌های عددی مورد تحلیل قرار گرفته و نتایج به دست آمده با نتایج موجود مقایسه شده است. این بررسی‌ها نشان داده است که روش پیشنهادی همگرایی بسیار خوبی با نتایج تحلیلی موجود و آزمایشگاهی دارد.

Analysis of Curved Beams and Grids by a Proposed Finite Element

F. Irani

Associate Professor

M. Edalati

Graduate Student

School of Engineering, Ferdowsi University

Abstract

In this paper a finite element with eight degree of freedom (torsional wraping deformation is also considered) is presented in order to analyse the curved beams and grids. An exponential function has been chosen to determine the variation of the torsional deformation. Numerical examples have finally been derived with help of a computer programme and the obtained solutions have been compared with analytical and testing results to show the compatibility of this research.

مقدمه

لنگر (σ_b) است و لذا تنش قائم کل با رابطه زیر معین می شود.

$$\sigma = \sigma_b + \sigma_w \quad (2)$$

تنش های برشی حاصل از لنگر خمشی، لنگر پیچشی سن و نان و تنش برشی مربوط به لنگر پیچشی تابیدگی مقطع خواهد بود که در محاسبه انرژی تنش برشی از تنش برشی لنگر خمشی صرف نظر می نمایند و تنش برشی کل با رابطه زیر بیان خواهد شد [H2] که در آن q_{mt} جریان برشی ناشی از پیچش و t ضخامت جدار مقطع است.

$$\tau_{mt} = \frac{q_{mt}}{t} \quad (3)$$

در دستگاه استوانه ای، انرژی کل تیر قوسی با رابطه زیر معین می شود.

$$U = U_\sigma + U_\tau = \frac{1}{2} \int_0^\phi \int_A \left(\frac{\sigma^2}{E} + \frac{\tau_{mt}^2}{G} \right) \rho dA d\phi \quad (4)$$

انرژی قائم را برای تیرهای قوسی مدور با شعاع انحنای ثابت R به صورت زیر می نویسند:

$$U = U_b + U_w = \frac{1}{2E} \int_0^\phi \left(\frac{M_y^2}{I_y} + \frac{B^2}{I_w} \right) Rd\phi \quad (5)$$

انرژی برشی با توجه به تنش برشی کل و عملکرد ارجاعی تیر قوسی با رابطه زیر بیان می شود $[D_2, H_2]$:

$$U_\tau = \frac{1}{2G} \int_0^\phi \int_A \tau_{mt}^2 \rho dA d\phi = \frac{1}{2G} \int_0^\phi \int_A G \left[\left(\frac{r_s}{\rho} t - \frac{R}{\rho^2} \right. \right. \\ \left. \left. \frac{\Gamma}{(R^3/\rho^3) \frac{ds}{t}} \right) (\beta' - \eta) + \frac{R}{\rho^2} \frac{\Gamma}{(R^3/\rho^3) \frac{ds}{t}} \beta \right]^2 \frac{\rho}{t^2} dA d\phi \quad (1-6)$$

در رابطه فوق Γ مشخصه مقطع عرضی بسته بوده و از رابطه زیر معین می شود.

$$\Gamma = \int \frac{R^2}{\rho^2} r_s ds \quad (2-6)$$

تیرهای قوسی اغلب در پل های قوسی به کار می رود و به طور معمول از مقاطع جدار نازک در ساختار سازه ای آنها استفاده می شود. ویژگی هندسی این تیرها سبب می شود که هنگام اعمال بارهای ثقلی، تحت اثر لنگر پیچشی قابل ملاحظه ای قرار گیرند که سبب تغییر شکل و تابیدگی زیادی در مقاطع تیر می گردد.

پژوهشگران زیادی برای تحلیل دقیق تیرهای خمیده جدار نازک تالش کرده اند که از آن میان نظریه های مربوط به ولاسف Velasov، تیمو شنکو، ینگ Yang و یوو Yoo مورد توجه زیادی قرار گرفته است [Y1]. از نظریه های این افراد جهت تحلیل های عددی (روش ماتریسی، روش اجزاء محدود و روش تفاضل های محدود) استفاده می شود.

ابتدا موریس Morris و هو Ho با شرایط تعادل، ماتریس سختی جزء قوس را ارائه کردند، سپس ال-Amین El-Amin و بروتون Brotton در سال ۱۹۷۶ با در نظر گرفتن مشتق اول تغییر مکان پیچشی با روش سختی به حل مسئله پرداختند تا اینکه در سال ۱۹۹۰ هسو Hsu و فو Fu و اس چلینگ Schelling جزء ولاسف را ابداع کردند [H1] که در سال ۱۹۹۵ در جزء فوق تصحیحاتی انجام دادند [H2]. در این جزء از توابع میدان هر میتی برای تغییر مکان های مربوط به خمش و پیچش استفاده شده است.

در این مقاله با توجه به جواب معادله دیفرانسیل و به منظور اخذ پاسخ های بهتر برای تابع میدان پیچشی از توابع نمایی استفاده شده است.

انرژی کرنشی در تیرهای قوسی

به منظور تبیین انرژی، تیر قوسی شکل (1) و تغییر مکان های مربوطه را در نظر بگیرید. انرژی کل تیر قوسی از دو بخش عمدۀ تشکیل می شود. بخش نخست از مقاومت جسم در مقابل تنش های قائم ایجاد می گردد که به آن انرژی قائم گفته و با U_b نشان می دهدن. بخش دیگر از مقاومت عضو در برابر تنش های برشی حاصل می شود که به آن انرژی برشی گفته و با U_τ نشان می دهدن و انرژی از رابطه زیر معین خواهد شد [H2].

$$U = U_\sigma + U_\tau \quad (1)$$

تنش های قائم حاصل از لنگر خمشی (σ_b) و زوج

$$B = EI_w \left[\eta'(x) - \frac{w''(x)}{R} \right] \quad (14)$$

با اعمال روابط (۱۱) تا (۱۴) رابطه انرژی داخلی کل (رابطه ۸) پس از ساده سازی به صورت زیر نوشته می شود.

$$\begin{aligned} U &= \frac{EI_y}{2} \int_0^L \left(-w'' - \frac{\beta}{R} \right)^2 dx + \frac{EI_w}{2} \int_0^L \left(\eta' - \frac{w''}{R} \right)^2 dx + \\ &+ \frac{GK_t}{2} \int_0^L \left(\beta' - \frac{w'}{R} \right)^2 dx + \frac{G(I_c - K_t)}{2} \int_0^L (\beta' - \eta')^2 dx \end{aligned} \quad (15)$$

با استفاده از رابطه فوق وتابع میدان پیشنهادی در این مقاله، ماتریس سختی تیر جدار نازک قوسی در روش اجزاء محدود به دست آمده است. در اینجا: β تابع میدان پیچش، w تابع میدان تغییر مکان قائم است و داریم،

$$\eta = \beta' + \frac{1}{\kappa^2} \beta''' \quad (16)$$

$$\kappa = \sqrt{\mu GI_c / EI_w} \quad (17)$$

با استفاده از رابطه (۱۵) چهار رابطه انرژی که در تعیین ماتریس سختی کاربرد دارند به صورت زیر معین می شود،

$$U_b = \frac{EI_y}{2} \int_0^L \left(-w'' - \frac{\beta}{R} \right)^2 dx \quad (1-18)$$

$$U_t = \frac{GK_t}{2} \int_0^L \left(\beta' - \frac{w'}{R} \right)^2 dx \quad (2-18)$$

$$U_w = \frac{EI_w}{2} \int_0^L \left(\eta' - \frac{w''}{R} \right)^2 dx \quad (3-18)$$

$$U_s = \frac{G(I_c - K_t)}{2} \int_0^L (\beta' - \eta')^2 dx \quad (4-18)$$

میدان تغییر مکان پیشنهادی

پژوهشگران زیادی نتایج نظریه ولاسف را که در تحلیل خطی و غیرخطی تیرهای جدار نازک باز به کار می روند توسط روش اجزاء محدود و سایر روش های عددی کنترل نموده اند و این نتایج نشان می دهد که نظریه

در نهایت انرژی داخلی برش به صورت زیر نوشته می شود.

$$U_t = \frac{1}{2G} \int_0^\phi \left(\frac{T_s^2}{K_t} \right) R d\phi + \frac{G}{2R} \int_0^\phi (I_c - K_t) [\beta'(\phi) - \eta(\phi)]^2 d\phi \quad (7)$$

با جمع دو رابطه (۵) و (۷) انرژی داخلی کل تیر قوسی جدار نازک به صورت زیر نوشته می شود.

$$U = \frac{1}{2E} \int_0^\phi \left(\frac{M_y^2}{I_y} + \frac{B^2}{I_w} \right) R d\phi + \frac{1}{2G} \int_0^\phi \left(\frac{T_s^2}{K_t} \right) R d\phi + \frac{G}{2R} \cdot$$

$$\int_0^\phi (I_c - K_t) \times [\beta'(\phi) - \eta(\phi)]^2 d\phi \quad (8)$$

لذا انرژی داخلی کل مجموع U_w (انرژی خمشی)، (U_t انرژی زوج لنگر)، (U_b انرژی پیچش) و (U_s انرژی برش تابیدگی) خواهد بود:

$$U = U_\sigma + U_t = U_b + U_w + U_t + U_s \quad (9)$$

ضمناً با توجه به معادلات دیفرانسیل تیرهای قوسی با تابیدگی مقطع روابط لنگر پیچشی، لنگر خمشی، و زوج لنگر به صورت زیر ارائه می شود [D2, V1]:

$$T = \frac{GK_t}{R} \beta'(\phi) - \frac{EI_w}{\mu R^3} \beta'''(\phi) = GK_t \beta'(x) - \frac{EI_w}{\mu} \beta'''(x) \quad (10)$$

با ترکیب تأثیر تغییر مکان قائم (w), لنگر پیچشی کل (T) از رابطه زیر معین خواهد شد.

$$T = T_s + T_w = GK_t \left[\beta'(x) - \frac{w'(x)}{R} \right] - \frac{EI_w}{\mu} \left[\beta'''(x) - \frac{w'''(x)}{R} \right] \quad (11)$$

و چون داریم،

$$M_y = EI_y \left[-w''(x) - \frac{\beta(x)}{R} \right] \quad (12)$$

$$B = \frac{EI_w}{R^2} \eta'(\phi) = EI_w \eta'(x) \quad (13)$$

که با تأثیر تغییر مکان قائم خواهیم داشت:

$$\beta = [P_1] \{ \alpha \}_m \quad (1-24)$$

$$w = [P_2] \{ \alpha \}_m \quad (2-24)$$

تابع میدان تابیدگی (η) تابعی وابسته است و به صورت زیر تعریف می‌شود.

$$\eta = \beta' + \frac{1}{\kappa^2} \beta'''$$

که پس از محاسبه به صورت زیر در می‌آید.

$$\eta = \alpha_6 + \alpha_7 Ae^{\frac{x}{L}} - \alpha_8 Ae^{-\frac{x}{L}}$$

و یا :

$$\eta = [P_3] \{ \alpha \}_m \quad (3-24)$$

در رابطه فوق مقدار A به صورت زیر است.

$$A = \frac{1}{2} + \frac{1}{\kappa^2 L^3}$$

در روابط فوق مقادیر $[P]$ و $\{ \alpha \}_m$ به صورت زیر می‌باشد.

$$[P_1] = [0 \ 0 \ 0 \ 0 \ 1 \ x \ e^{\frac{x}{L}} \ e^{-\frac{x}{L}}] \quad (1-25)$$

$$[P_2] = [1 \ x \ x^2 \ x^3 \ 0 \ 0 \ 0 \ 0] \quad (2-25)$$

$$[P_3] = [0 \ 0 \ 0 \ 0 \ 1 \ Ae^{\frac{x}{L}} \ -Ae^{-\frac{x}{L}}] \quad (3-25)$$

$$\{ \alpha \}_m = \{ \alpha_1 \ \alpha_2 \ \alpha_3 \ \alpha_4 \ \alpha_5 \ \alpha_6 \ \alpha_7 \ \alpha_8 \}^T \quad (26)$$

در زیر توابع میدان بر حسب مجهولات گرهی هر جزء ارائه شده است. با جایگزینی مختصات معلوم گرهی (گره 1 و 2) در روابط (22) مقادیر مجهول $\{ \alpha \}_m$ از هشت معادله زیر معین خواهد شد.

$$\beta_1 = [P_1(1)] \{ \alpha \}_m \quad (1-27)$$

ولاسف کارایی بسیار خوبی دارد. در اینجا نیز برای رابطه سازی ماتریس سختی جزء پیشنهادی از این نظریه استفاده می‌شود.

شکل (2) جزء پیشنهادی دو گرهی یک تیر مدور افقی را نشان می‌دهد که این جزء در هر گره دارای چهار درجه آزادی است و لذا بردار تغییر مکان متناظر با چهار درجه آزادی به صورت زیر خواهد بود:

$$\{ D \}_m = \{ \beta \ \ w' \ \ w \ \ \eta \ }^T \quad (19)$$

که در آن داریم:

β درجه آزادی وابسته به پیچش

w' درجه آزادی وابسته به خمش

w درجه آزادی وابسته به برش قائم

η درجه آزادی وابسته به زوج لنگر (تابیدگی)

بردار نیروهای متناظر با رابطه (19) به صورت زیر نوشته می‌شود:

$$\{ F \} = \{ T \ \ M_y \ \ V_z \ \ B \ }^T \quad (20)$$

در این رابطه T لنگر پیچشی کل، M_y لنگر خمشی، V_z نیروی برشی و B زوج لنگر است.

دو تابع میدان مستقل یکی مربوط به تغییر مکان قائم (w) و دیگری مربوط به زاویه پیچش (β) به صورت زیر پیشنهاد می‌شود. در این روابط محور x محور چرخان عضو، L طول تیر قوسی و a_1 تا a_8 ضرایب ثابت هستند. مهمترین مزایای تابع میدان β را می‌توان به صورت زیر ذکر کرد:

۱ - چرخش جسم صلب

۲ - حل دقیق برای مسائل پیچش ساده غیریکنواخت

$$w = \alpha_1 + \alpha_2 x + \alpha_3 x^2 + \alpha_4 x^3 \quad (21)$$

$$\beta = \alpha_5 + \alpha_6 x + \alpha_7 e^{\frac{x}{L}} + \alpha_8 e^{-\frac{x}{L}} \quad (22)$$

درجات آزادی در گره ۱ به صورت زیر نوشته می‌شود.

$$\{ D_i \}_m = \{ \beta_i \ \ w'_i \ \ w_i \ \ \eta_i \ }^T \quad (23)$$

توابع میدان β و w به صرت ماتریس زیر خواهد بود:

این سه رابطه توابع میدان را بر حسب توابع درونیاب و مقادیر گرهی ارائه می دهد که در آنها داریم:

$$[N_\beta] = [P_1][G]^{-1} \quad (1-21)$$

$$[N_w] = [P_2][G]^{-1} \quad (2-21)$$

$$[N_\eta] = [P_3][G]^{-1} \quad (3-21)$$

این سه رابطه بیانگر ماتریس درونیاب است که به صورت زیر تعریف می شوند.

$$[N_\beta] = [N_{\beta 1} \ N_{\beta 2} \ N_{\beta 3} \ N_{\beta 4} \ N_{\beta 5} \ N_{\beta 6} \ N_{\beta 7} \ N_{\beta 8}] \quad (1-22)$$

$$[N_w] = [N_{w1} \ N_{w2} \ N_{w3} \ N_{w4} \ N_{w5} \ N_{w6} \ N_{w7} \ N_{w8}] \quad (2-22)$$

$$[N_\eta] = [N_{\eta 1} \ N_{\eta 2} \ N_{\eta 3} \ N_{\eta 4} \ N_{\eta 5} \ N_{\eta 6} \ N_{\eta 7} \ N_{\eta 8}] \quad (3-22)$$

رابطه سازی ماتریس سختی

با فرض عملکرد ارجاعی تیر قوسی و با استفاده از روابط استخراج شده، انرژی داخلی کرنش رابطه (۱۵) به صورت زیر ارائه می شود.

$$U = \frac{1}{2} \{D\}_m^T \left(\int_0^L [B]^T [D_m] [B] dx \right) \{D\}_m \quad (23)$$

اگر داشته باشیم:

$$U = \frac{1}{2} \{D\}_m^T [S_m] \{D\}_m \quad (24)$$

$$[S_m] \int_0^L [B]^T [D_m] [B] dx \quad (25)$$

ماتریس $[D_m]$ ماتریس خواص مواد و $[B]$ ماتریس کرنش است که از مشتق های توابع شکل به دست می آید.

$$\{\sigma\} = [D_m] \{\epsilon\}$$

$$\{\epsilon\} = [B] \{D\}_m$$

$$w' 1 = [P_2(1)] \{\alpha\}_m \quad (2-27)$$

$$w 1 = [P_2(1)] \{\alpha\}_m \quad (3-27)$$

$$\eta_1 = \left[P'_1(1) + \frac{1}{\kappa^2} P'''_1(1) \right] \{\alpha\}_m = [P_3(1)] \{\alpha\}_m \quad (4-27)$$

$$\beta_2 = [P_1(2)] \{\alpha\}_m \quad (5-27)$$

$$w' 2 = [P'_2(2)] \{\alpha\}_m \quad (6-27)$$

$$w 2 = [P_2(2)] \{\alpha\}_m \quad (7-27)$$

$$\eta_2 = \left[P'_1(2) + \frac{1}{\kappa^2} P'''_1(2) \right] \{\alpha\}_m = [P_3(2)] \{\alpha\}_m \quad (8-27)$$

$$\{D\}_m = [G] \{\alpha\}_m = [D_1 \ D_2 \ D_3 \ D_4 \ D_5 \ D_6 \ D_7 \ D_8] \quad (28)$$

$$\{\alpha\}_m = [G]^{-1} \{D\}_m \quad (29)$$

در روابط بالا $[G]$ ماتریس مریب معلومی است که به مختصات گره ها بستگی دارد. سطر اتم این ماتریس مقدار P_i و یا یکی از مشتقات P_i در گره مذبور است. در روابط بالا گره ابتدا با شماره ۱ و گره انتهای با شماره ۲ معین شده است. بردار تغییر مکان های گرهی است و در واقع D_8 درجات آزادی گره هاست که به ترتیب در روابط (۲۷) معین شده است. با معلوم شدن $\{\alpha\}_m$ مقدار تابع میدان بر حسب مقادیر مجهول گرهی به صورت زیر محاسبه می شود.

$$\beta = [P_1] \{\alpha\}_m = [P_1][G]^{-1} \{D\}_m = [N_\beta] \{D\}_m \quad (1-30)$$

$$w = [P_2] \{\alpha\}_m = [P_2][G]^{-1} \{D\}_m = [N_w] \{D\}_m \quad (2-30)$$

$$\eta = [P_3] \{\alpha\}_m = [P_3][G]^{-1} \{D\}_m = [N_\eta] \{D\}_m \quad (3-30)$$

ماتریس $[S_b]_m$ ماتریس سختی خمشی عضو قوسی در محورهای محلی است و ماتریس $[D_{mb}]$ و $[B_b]$ به ترتیب ماتریس خواص مواد و ماتریس کرنش خمشی است.

به صورت مشابه و با استفاده از رابطه (۱-۱۸) می‌توان ماتریس سختی پیچشی را به صورت زیر معین کرد.

$$\begin{aligned} U_t &= \frac{GK_t}{2} \int_0^L \left(\beta' - \frac{w'}{R} \right)^2 dx \\ &= \frac{1}{2} \int_0^L \left(\beta' - \frac{w'}{R} \right) [GK_t] \left(\beta' - \frac{w'}{R} \right) dx \\ &= \frac{1}{2} \{D\}_m^T \left(\int_0^L [B_t]^T [D_{mt}] [B_t] dx \right) \{D\}_m \quad (43) \end{aligned}$$

که از آن:

$$[S_t]_m = \int_0^L [B_t]^T [D_{mt}] [B_t] dx \quad (44)$$

در این رابطه داریم:

$$[D_{mt}] = GK_t$$

$$[B_t] = [N' \beta] - \frac{1}{R} [N' w] \quad (45)$$

ماتریس سختی تاییدگی نیز از روابط زیر معین خواهد شد.

$$\begin{aligned} U_\omega &= \frac{1}{2} \int_0^L \left(\eta - \frac{w''}{R} \right) [EI_\omega] \left(\eta' - \frac{w''}{R} \right) dx \\ &= \frac{1}{2} \{D\}_m^T \left(\int_0^L [B_\omega]^T [D_{m\omega}] [B_\omega] dx \right) \{D\}_m \quad (46) \end{aligned}$$

$$\{S_\omega\}_m = \int_0^L [B_\omega]^T [D_{m\omega}] [B_\omega] dx \quad (47)$$

در آن رابطه داریم:

$$\{D_{m\omega}\} = EI_\omega$$

$$[B_\omega] = [N' \eta] - \frac{1}{R} [N'' \omega] \quad (48)$$

و بالاخره ماتریس سختی برش ثانویه تاییدگی نیز از روابط زیر معین خواهد شد.

حال با استفاده از رابطه (۱-۱۸) می‌توان نوشت:

$$U_b = \frac{1}{2} \int_0^L \left(-w'' - \frac{\beta}{R} \right) [EI_y] \left(-w'' - \frac{\beta}{R} \right) dx \quad (36)$$

و با استفاده از روابط (۳۰) می‌توان نوشت:

$$w = [N_w] \{D\}_m \quad (1-38)$$

$$w' = [N'_w] \{D\}_m \quad (2-28)$$

$$w'' = [N''_w] \{D\}_m \quad (3-28)$$

$$\beta = [N_\beta] \{D\}_m \quad (4-28)$$

$$\beta' = [N'_\beta] \{D\}_m \quad (5-28)$$

$$\beta'' = [N''_\beta] \{D\}_m \quad (6-28)$$

$$\eta = [N_\eta] \{D\}_m \quad (7-28)$$

$$\eta' = [N'_\eta] \{D\}_m \quad (8-28)$$

$$U_b = \frac{1}{2} \int_0^L \left(\left[-[N''_w] - \frac{1}{R} [N_\beta] \right] \{D\}_m^T [EI_y] \left[-[N''_w] - \frac{1}{R} [N_\beta] \right] \{D\}_m \right) dx \quad (39)$$

این رابطه به صورت ساده زیر نیز بیان می‌شود.

$$U_b = \frac{1}{2} \{D\}_m^T \left(\int_0^L [B_b]^T [D_{mb}] [B_b] dx \right) \{D\}_m \quad (40)$$

با مقایسه این رابطه با رابطه (۲۲) تا (۳۵) می‌توان نوشت:

$$[S_b]_m = \int_0^L [B_b]^T [D_{mb}] [B_b] dx \quad (41)$$

که در آن داریم:

$$[D_{mb}] EI_y \quad (42)$$

$$[B_b] = -[N''_w] - \frac{1}{R} [N_\beta]$$

$$K_{tij} = \int_0^L B_{ti} B_{tj} dx \quad i = 1, 8 \quad j = 1, 8 \quad (2-54)$$

$$[B_t] [B_{ti}] \quad i = 1, 8 \quad (1-55)$$

$$B_{ti} = N' \beta_i - \frac{1}{R} N_w i \quad i = 1, 8 \quad (2-55)$$

$$U_s = \frac{1}{2} \int_0^L (\beta' - \eta) [G(I_c - K_t)] (\beta' - \eta) dx \\ = \frac{1}{2} \{D\}_m^T \left(\int_0^L [B_s]^T [D_{ms}] [B_s] dx \right) \{D\}_m \quad (49)$$

$$[S_s]_m = \int_0^L [B_s]^T [D_{ms}] [B_s] dx \quad (50)$$

در آن داریم:

ماتریس سختی تابیدگی

برای تعیین ماتریس سختی تابیدگی (رابطه ۴۷) در محورهای محلی و ماتریس کرنش تابیدگی (رابطه ۴۸) به صورت زیر عمل می‌شود.

$$[S_\omega]_m = EI_\omega [K_{\omega ij}] \quad i = 1, 8 \quad j = 1, 8 \quad (1-56)$$

$$K_{\omega ij} = \int_0^L B_{\omega i} B_{\omega j} dx \quad i = 1, 8 \quad j = 1, 8 \quad (2-56)$$

$$[B_\omega] = [B_{\omega i}] \quad i = 1, 8 \quad (1-57)$$

ماتریس سختی برش ثانویه تابیدگی
از رابطه (۵۰) و رابطه (۵۱) به ترتیب ماتریس سختی برش ثانویه تابیدگی و ماتریس کرنش مربوطه در محورهای محلی معین می‌شود،

$$[S_s]_m = G(I_c - K_t) [K_{sij}] \quad i = 1, 8 \quad j = 1, 8 \quad (1-58)$$

$$K_{sij} = \int_0^L B_{si} K_{sj} dx \quad i = 1, 8 \quad j = 1, 8 \quad (2-58)$$

$$[B_s] = [B_{si}] \quad i = 1, 8 \quad (1-59)$$

$$B_{si} = N' \beta_i - N \eta_i \quad i = 1, 8 \quad j = 1, 8 \quad (2-59)$$

$$[D_{ms}] = G(I_c - K_t)$$

$$[B_s] = [N' \beta] - [N \eta]$$

ماتریس سختی خمشی

برای تعیین ماتریس سختی خمشی در محورهای محلی (رابطه ۴۱) به صورت زیر عمل می‌شود:

$$[S_b]_m = EI_y [K_{bij}] \quad i = 1, 8 \quad j = 1, 8 \quad (1-52)$$

$$K_{bij} = \int_0^L B_{bi} B_{bj} dx \quad i = 1, 8 \quad j = 1, 8 \quad (2-52)$$

ماتریس کرنش $[B_b]$ (رابطه ۴۲) به صورت زیر معین می‌شود.

$$[B_b] = [B_{bi}] \quad i = 1, 8 \quad (1-53)$$

$$B_{bi} = -N'' w_i - \frac{1}{4} N \beta_i \quad i = 1, 8 \quad (2-53)$$

پس از انجام محاسبات لازم درایه‌های ماتریس سختی خمشی معین خواهد شد.

ماتریس سختی پیچشی

برای تعیین ماتریس سختی پیچشی در محورهای محلی (رابطه ۴۴) و ماتریس کرنش متاظر با آن (رابطه ۴۵) داریم:

$$[S_t]_m = GK_t [K_{tij}] \quad i = 1, 8 \quad j = 1, 8 \quad (1-54)$$

$$D_{m8} = D_{s8} \quad (8-62)$$

شکل ماتریسی روابط فوق به صورت زیر خواهد بود.

$$\{D\}_m = [R] \{D\}_s \quad (83)$$

که در آن ماتریس $[R]$ با رابطه زیر معین می‌شود،

$$[R] = \begin{bmatrix} R_j & 0 \\ 0 & R_k \end{bmatrix} \quad (1-64)$$

اگر کسینوس‌های هادی به صورت زیر باشد،

$$C_j = \cos \gamma$$

$$S_j = \sin \gamma$$

$$C_k = \cos(\gamma \pm \phi)$$

$$S_k = \sin(\gamma \pm \phi)$$

زیر ماتریس‌های $[R_j]$ و $[R_k]$ خواهد شد.

$$[R_j] = \begin{bmatrix} C_i & S_j & 0 & 0 \\ S_j & C_j & 0 & 0 \\ 0 & 0 & 1 & 0 \\ 0 & 0 & 0 & 1 \end{bmatrix}$$

$$[R_k] = \begin{bmatrix} C_k & S_k & 0 & 0 \\ -S_k & C_k & 0 & 0 \\ 0 & 0 & 1 & 0 \\ 0 & 0 & 0 & 1 \end{bmatrix} \quad (2-64)$$

اگر ماتریس $[S_e]_s$ ماتریس سختی عضو قوسی در محورهای کلی باشد این ماتریس با رابطه (۶۵) به دست خواهد آمد (شکل‌های ۳ و ۴):

$$[S_e]_m = [R]^T [S_e]_s [R] \quad (65)$$

نیروهای عضو با رابطه زیر معین خواهند شد

ماتریس سختی عضو قوسی در محورهای محلی

ماتریس سختی عضو قوسی در محورهای محلی از روی هم گذاری روابط (۵۲-الف)، (۵۴-الف)، (۵۶-الف) و (۵۸-الف) به دست می‌آید. یعنی:

$$[S]_m = [S_b]_m + [S_t]_m + [S_w]_m + [S_s]_m \quad (60)$$

$$[S_e]_m = [K_{eij}] \quad i = 1, 8 \quad j = 1, 8 \quad (1-61)$$

ماتریس $[S_e]_m$ ماتریس سختی عضو در محورهای محلی است که درایه‌های آن به صورت زیر تعریف می‌شود.

$$K_{eij} = EI_y K_{bij} + GK_t K_{tij} + EI_\omega K_{\omega ij} + G(I_c - K_t) K_{sij} \quad i = 1, 8 \quad j = 1, 8 \quad (2-61)$$

ماتریس مبدل و ماتریس سختی عضو قوسی در محورهای کلی

شکل (۳) محورهای مختصات محلی (x, y, z) و دستگاه محورهای مختصات کلی (X, Y, Z) و شکل (۴) درجات آزادی محلی و کلی را برای دو گره ابتدا و انتهای عضو قوسی نشان می‌دهد که روابط زیر بین آنها برقرار است.

$$D_{m1} = D_{s1} \cos \gamma + D_{s2} \sin \gamma \quad (1-62)$$

$$D_{m2} = -D_{s1} \sin \gamma + D_{s2} \cos \gamma \quad (2-62)$$

$$D_{m3} = D_{s3} \quad (3-62)$$

$$D_{m4} = D_{s4} \quad (4-62)$$

$$D_{m5} = D_{s5} \cos(\gamma \pm \phi) + D_{s6} \sin(\gamma \pm \phi) \quad (5-62)$$

$$D_{m6} = -D_{s5} \sin(\gamma \pm \phi) + D_{s6} \cos(\gamma \pm \phi) \quad (6-62)$$

$$D_{m7} = D_{s7} \quad (7-62)$$

و ماتریس‌های $[D']_m$ و $[D'_j]_m$ با روابط زیر به دست می‌آیند.

$$[D']_m = [P_i(x)] [G]^{-1} \quad i = 1, 2, 3 \quad (1-71)$$

$$[D'_j]_m = [P_i(x)] [G]^{-1} \quad i = 1, 2, 3 \quad (2-71)$$

در این روابط $[G]$ وارون ماتریس $[G]$ است و ماتریس‌های $[P_i]$ تا $[P_3]$ از روابط (۲۵) به دست خواهد آمد.

مثال

در اینجا تیر قوسی شکل‌های (۵ و ۶) که در مرجع [D1] با ۱۶ جزء مستقیم و با طول‌های نامساوی تحلیل شده است با چهار جزء قوسی با هشت درجه آزادی تحلیل شده و نتایج تحلیل به صورت نمودار در اشکال (۷) و (۸) با یکدیگر مقایسه شده است. مشخصات مقاطع روی اشکال مشخص است و مقادیر E و G برای ۱2000 ksi مصالح تیر قوسی به ترتیب 30000 و ۳۰ ksi می‌باشد.

از آنجا که در مثال مرجع [D1] و روش پیشنهادی از یک نوع تابع میدان برای خمش استفاده شده است پاسخ‌های تغییر مکان و لنگر خمشی به یکدیگر تزدیک است و لی در مورد پیچش که از تابع نمایی در روش پیشنهادی استفاده شده است، مقادیر زاویه پیچش و زوج لنگر خود را بهتر نشان داده است.

باید توجه داشت که در این مثال به دلیل وجود تکیه گاه میانی و تغییر مشخصات مقاطع از چهار جزء قوسی استفاده شده است و در مرجع [D1] از شانزده جزء استفاده شده است که از نظر سهولت در داده‌دهی و داده ستانی بسیار با یکدیگر متفاوت خواهد بود.

نتیجه گیری

باتوجه به نتایج حاصل و کارآمدی روش پیشنهادی می‌توان به صورت زیر نتیجه گیری کرد:
۱- جزء پیشنهادی قادر به تحلیل تمامی تیرها و شبکه‌های قوسی با هر نوع شرایط مرزی و بارگذاری مختلف است و در مقایسه با اجزاء مستقیم که نیاز به داده‌دهی و داده ستانی بسیار بالایی دارد از احتمال خطای کمتری برخوردار است. در ضمن

$$[F_e]_m = [S_e]_m [R] [D]_s + \{F_e\}_{F,m} \quad (66)$$

در این رابطه بردار $\{F_e\}_{F,m}$ نیروهای گیرداری معادل گرهی (ناشی از بارهای میانی) در محورهای محلی عضو را معین می‌کند و بردار $\{F_e\}_m$ نیز نیروهای دو انتهای عضو را به دست می‌دهد.

نیروهای گیرداری به روش اجزاء محدود

بردار نیروهای گیرداری با در نظر داشتن تعریف درجات ازادی در هر گره α به صورت زیر خواهد بود:

$$\{F_e\}_{F,m} = \{T_i \quad M_{yi} \quad V_{zi} \quad B_i\}^T \quad (67)$$

اگر جزء قوسی زیر اثر نیروهای خارجی قرار گیرد شرایط تعادل آن با توجه به اصل حداقل انرژی داخلی به صورت زیر بیان می‌شود [B1].

$$\delta(U - V) = 0 \quad (68)$$

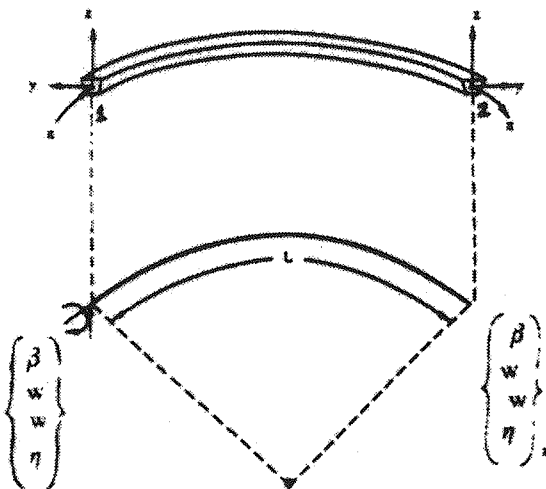
در این رابطه U انرژی داخلی در جزء تیری و V کار نیروهای خارجی است و لذا رابطه زیر برای بردار نیروها در دستگاه مختصات محلی برقرار خواهد بود : [B1]

$$\{F_e\}_{F,m} = \int_0^L [D']_{m,i}^T \{f\}_{m,i} dx + \sum [D'_j]_{m,k}^T \{F_j\}_{m,k} \quad (69)$$

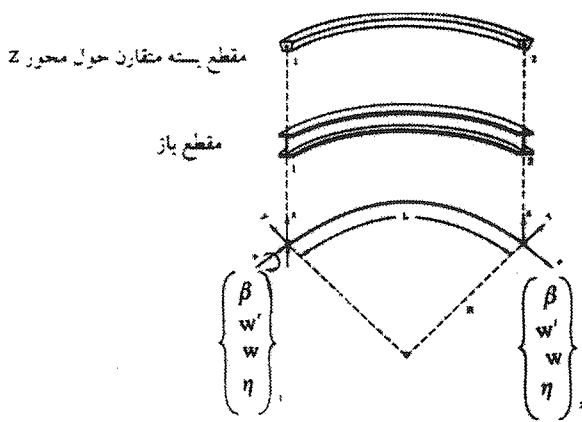
در این رابطه $\{F_e\}_{F,m}$ بردار نیروهای معادل گرهی بارهای میانی $[D']_m$ ماتریس توابع شکل گرهی برحسب مختصات x, m, j ماتریس توابع شکل در گره j از عضو (محل اثر بار متتمرکز) $\{f\}_{m,j}$ بردار نیروهای گستردگی بر روی عضو m بردار نیروهای متتمرکز وارد بر المان در گره j از عضو α و k شمارنده تعداد بارهای گستردگی و متمرکز است. بردار نیروها با روابط زیر بیان می‌شوند.

$$\{f_m\}_m = \{m_t \quad m_y \quad P_z \quad b\}^t \quad (1-70)$$

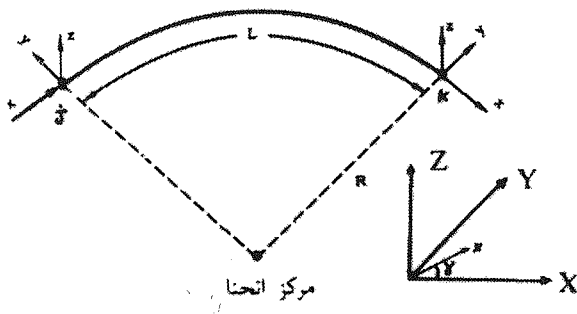
$$\{F_j\}_m = \{M_t \quad M_y \quad P \quad B\}^T \quad (2-70)$$



شکل (۱) تیر قوسی و تغییر شکل آن.



شکل (۲) درجات آزادی و تغییر شکل تیر قوسی
نسبت به محور مرکزی آن.



شکل (۳) محورهای مختصات محلی و کلی در عضو قوسی.

تیرهای مستقیم را نیز می‌توان با جزء قوسی پیشنهادی و با میل دادن شعاع انحنای به سمت بی‌نهایت تحلیل کرد.

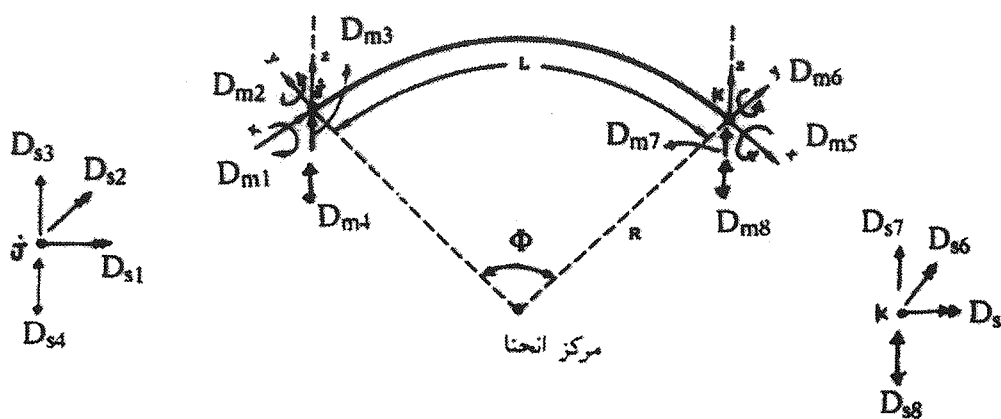
۲- اختلاف دستگاه سه درجه آزادی با روش پیشنهادی در ملاحظه کردن اثر تغییر شکل‌های ثانویه تابیدگی در روش پیشنهادی است. به این دلیل دستگاه سه درجه آزادی نمی‌تواند رفتار واقعی تابیدگی حاصل از پیچش را در تیر جدار نازک قوسی بیان کند.

۳- اختلاف بین جزء ولاسف [H1] و جزء ولاسف بهبود یافته [H2] در وارد کردن اثر تغییر شکل‌های برشی تابیدگی است و اختلاف روش پیشنهادی و جزء بهبود یافته و لاسف در انتخاب توابع میدان است که با توجه به جواب عمومی معادلات دیفرانسیل حاکم بر پیچش تابیدگی در تیرهای قوسی که به صورت نمایی است لذا پاسخ‌های به دست آمده با روش پیشنهادی در مقایسه با نتایج آزمایشگاهی سازگاری بهتری را نشان می‌دهد.

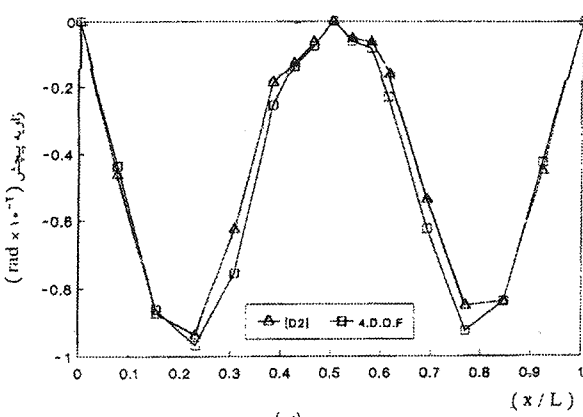
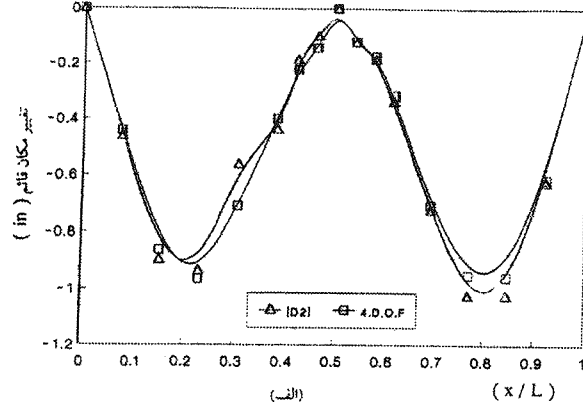
۴- زوج لنگرهای به دست آمده از روش لاسف همیشه بزرگتر از مقادیری است که از روش پیشنهادی به دست می‌آیند، زیرا که اثر تغییر شکل‌های تابیدگی در روش پیشنهادی ملاحظه شده است.

۵- چون مقدار زوج لنگر با افزایش پارامتر پیچش تابیدگی (۱۱) کم می‌شود هرگاه مقدار ضریب ثابت پیچش در مقایسه با ضریب ثابت تابیدگی قابل ملاحظه باشد می‌توان اثر زوج لنگر را نادیده انگاشت.

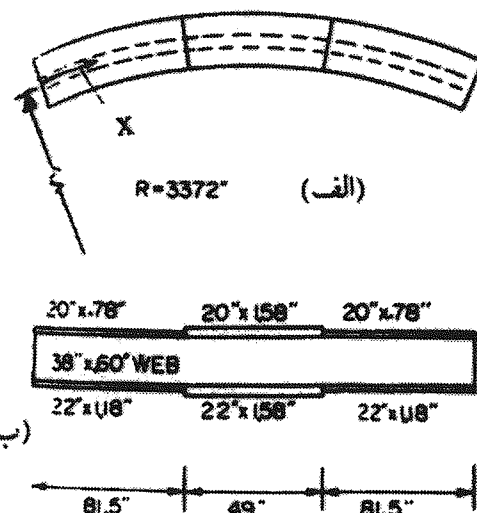
۶- دیده می‌شود که مقادیر تغییر مکان‌ها و زاویه پیچش تطابق بهتری با نتایج حاصل از روش‌های تحلیلی و آزمایشگاهی دارند در حالی که این موضوع برای نیروها این گونه نیست. سبب آن این است که از روش سختی استفاده شده است. اگر نیاز به دقّت بیشتر در مقادیر نیروها باشد باید از روش نرمی مدد جست و به عبارت دیگر باید توابع میدان را برای نیروها در نظر گرفت. ولی چون روش سختی در برنامه نویسی انعطاف‌پذیرتر است در عمل این روش ترجیح داده می‌شود.



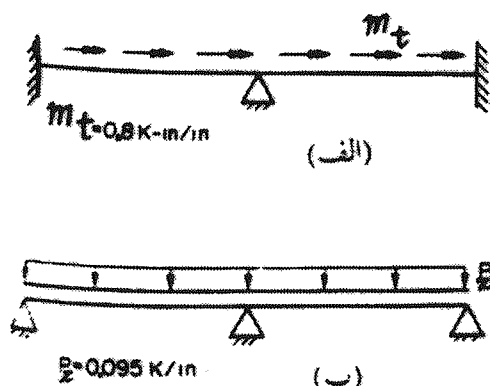
شکل (۲) درجات آزادی در محورهای مختصات محلی و کلی برای عضو قوسی.



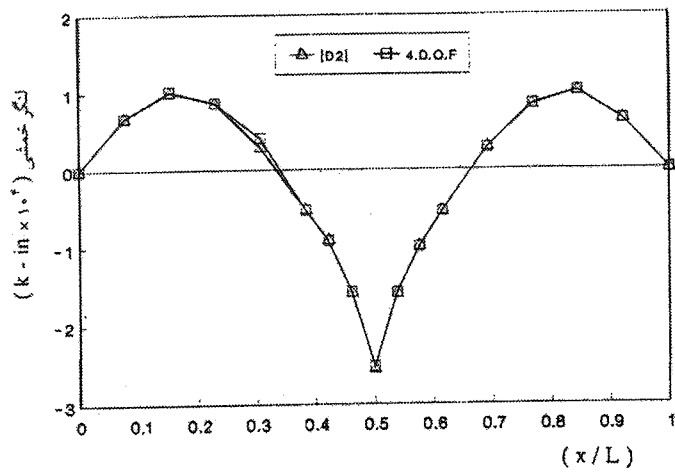
شکل (۷) (الف) - نمودار تغییر مکان (in)
ب - نمودار زاویه بیچش (rad)



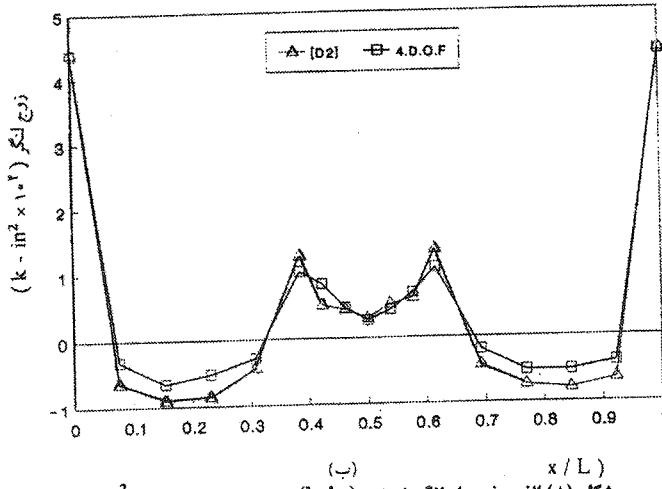
شکل (۵) (الف) - پلان شاهتیر قوسی
ب - مشخصات مقاطع کناری و مقطع میانی



شکل (۶) (الف) - لنگر بیچشی یکنواخت و شرایط مرزی بیچش
ب - نیروی گسترده یکنواخت و شرایط مرزی خمس



(الف)

شکل (۸) (الف) - نمودار لنگر خمی (k-in) ب - نمودار زوچ لنگر (k-in²)

مراجع

- [1] Bath. K.J., "Finite Element Procedures in Engineering Analysis", Prentice-Hall, Englewood Cliffs, N. J., (1985).
- [2] Dvorkin. E.N. "A Vlasov Beam Element", Computers & Structures, VOL. 33, No. 1, PP. 187-196, (Eds, Celentano. d., Cuitino. a. and Gioiab.) (1989)
- [3] Dabrowski. R., "Curved Thin-Walled Girders", Cement and Concrete Association, London, England, (1968).
- [4] Hsu. Y.T., "An Improved Horizontally-Curved Beam Element", Computers & Structures, VOL. 34, NO. 2, PP. 313-318, (Eds. Fu. C.C. and Schein. D.R.), (1990).
- [5] Hsu. Y. T., "The Development of an Improved Curvilinear Thin-Walled Vlasov Element", Computers & Structures , VOL. 54, No. 1, PP. 147-159, (Ed. Fu. C.C.), (1995).
- [6] Vlasov. V.Z., "Thin-Walled Elastic Beams", , National Science Foundation, (1961).
- [7] Yang. Y.B., "Curved Beam Elements for Nonlinear Analysis", Journal of Engineering Mechanics, ASCE, VOL. 115, No. 4, PP. 840-855, (Eds. Kuo. S.R. and Cherng. Y.D), (1989).
- [8] Zinkivicz, O.C. and Taylor. R. L., "The Finite Element Method", 4th Ed., London; New York McGraw -Hill, C1989).